

مراحل تکوین تخمک و کیسه رویانی در *Consolida orientalis* Schrödinger از تیره آلاله‌ایان

عبدالکریم چهرگانی راد*، فریبا محسن زاده و سولماز اخطاری

دریافت: ۱۳۹۲/۱۱/۱۰، پذیرش: ۱۳۹۳/۱۲/۱

گروه زیست‌شناسی، دانشکده علوم، دانشگاه بوعلی‌سینا، همدان

*مسئول مکاتبات: chehregani@basu.ac.ir

چکیده. ساختار گل و رویان‌شناسی در تیره آلاله‌ایان موضوع مطالعات مختلف بوده است، اما پراکنش مطالعات تکوینی در این تیره ناموزون است؛ به طوری که مطالعه برخی از جنس‌ها به طور محدود انجام شده یا اصلاً مطالعه نشده‌اند. در این پژوهش مراحل و چگونگی تکوین تخمک در گیاه *Consolida orientalis* بررسی شد. گل‌ها و غنچه‌ها در مراحل مختلف نمو برداشت، تثبیت و نگهداری شد. سپس با میکروتوم برش‌گیری و رنگ‌آمیزی با همتوکسیلین و اتوزین انجام گرفت. لام‌های تهیه‌شده از مراحل مختلف تکوینی با دقت با استفاده از میکروسکوپ نوری بررسی شد. براساس نتایج حاصل از این بررسی، در گونه تحت مطالعه، تخمک از نوع دو-پوششی، نسبتاً پرخورش و واژگون است. پس از تقسیم میوز تترادهای مگاسپور آرایش خطی یا غیرخطی دارند. تکوین کیسه رویانی از طرح تک‌اسپوری و تیپ پلی‌گونوم پیروی می‌کند، درحالی که وجود تیپ آلوم نیز در این تیره رایج است. یاخته‌های آنتی‌پود بر خلاف تیپ متداول پلی‌گونوم شدیداً پلی‌پلوئید و نیز پایا هستند، اما تک‌هسته‌ای باقی می‌مانند و با فشار پوستامنت به وسط کیسه رویانی پیش‌روی می‌کنند. تحلیل آنها با تأخیر قابل توجه و در مرحله آندوسپرم سلولی صورت می‌گیرد.

واژه‌های کلیدی. آنتی‌پود، تیره آلاله‌ایان، *Consolida orientalis*، مگاسپوریت

Developmental stages of ovule and embryo sac in *Consolida orientalis* Schrödinger (Ranunculaceae)

Abdolkarim Chehregani Rad*, Fariba Mohsenzadeh and Soulmaz Ekhtari

Received 30.01.2014/ Accepted 20.02.2015

Department of Biology, Bu-Ali Sina University, Hamedan, Iran

*Correspondent author: chehregani@basu.ac.ir

Abstract. Although there is extensive literature on different aspects of floral structure and embryology in Ranunculaceae, the distribution of developmental studies on the family is inharmonic. Studies on some genera are extensive, but others have been less extensively investigated or some may have remained unstudied. This research is an attempt to study the developmental stages of ovule in *Consolida orientalis*. The flowers and buds in different developmental stages were sectioned at 7-10 μm with a microtome. Staining was performed with hematoxylin and eosin. The sections were studied by means of a light microscope. Results indicated that ovules are anatropous, bitegmic and crassinucellate. The megaspore tetrads are linear or nonlinear. The development of embryo sac belongs to the *Polygonum* type, but the presence of *Allium* type was also abundant in other species of this family. On the contrary to the common *Polygonum* type, the antipodal cells are large, persistent, and highly polyploid and remain uninucleate. They penetrate the embryo sac under the pressure provided by postament degenerate in the cellular stage of endosperm.

Keywords. antipodals, *Consolida orientalis*, megagametophyte, Ranunculaceae

مقدمه

تغذیه‌ای آنها را پیشنهاد می‌کند (Raghavan, 1997). وقوع آندوپلوئیدی در اعضای این خانواده بسیار شاخص است (Turala-Szybowska *et al.*, 1981; Turala-Szybowska & Wolanska, 1989). هدف این مقاله مطالعه مراحل تکوین تخمک و کیسه رویانی در گونه *C. orientalis* به منظور توسعه دانش رویان‌شناسی این تیره است. براساس مطالعات مرجع‌شناختی ما این جنس و گونه از نظر تکوینی تحت مطالعه قرار نگرفته است. به علاوه، آشکار-ساختن خصوصیات تکوینی تخمک و گامتوفیت ماده سبب فهم بهتری از مسائل آرایه‌شناختی تیره آلاله می‌شود.

مواد و روش‌ها

گل‌ها و جوانه‌های گونه تحت مطالعه در اوایل تابستان از زیستگاه‌های طبیعی در اطراف شهر همدان جمع‌آوری شد. گل‌ها و غنچه‌ها در مراحل مختلف تکوین جهت تثبیت در FAA₇₀ (Formalin, Acetic acid, Ethanol) قرار داده شد، سپس ذخیره‌سازی در الکل ۷۰ درصد صورت گرفت. پس از قالب‌گیری، برش‌گیری نمونه‌ها در قالب‌های پارافین با میکروتوم (Microm DC, Dideh Sabz, Iran) با ضخامت ۱۰-۷ μm صورت گرفت (Xue & Li, 2005). رنگ‌آمیزی برش‌های تهیه‌شده پس از پارافین‌زدایی و آبدهی با روش رنگ-آمیزی مضاعف هسته و سیتوپلاسم توسط هماتوکسیلین و ائوزین صورت گرفت (Yeung, 1984). نمونه‌ها با میکروسکوپ نوری (Germany) Zeiss Axiostar Plus بررسی شد و عکس‌برداری به کمک دوربین دیجیتال مدل (Japan) Canon G₁₁ انجام گرفت.

نتایج

تشکیل مادگی و تخمک

تخمک‌ها به صورت برجستگی‌های کوچک کم‌ویش کروی تا بیضی‌شکل در جدار تخمدان پدیدار می‌شود (شکل ۱A). تخمدان از نوع فوقانی و دوخانه‌ای است و هر حفره دو ردیف تخمکی دارد (شکل ۱B). برچه شامل تعداد زیادی تخمک است. تخمک‌ها در تخمدان به طور واژگون و آویخته در دو

در راسته آلاله‌سانان (Ranunculales) تیره آلاله‌ایان موقعیت فیلوژنتیک برجسته‌ای داشته و به نظر می‌رسد پایه و اساس یوئیدیکت‌ها باشد. این تیره یک تیره بزرگ با پراکنش جهانی است (Soltis *et al.*, 2005; Simpson, 2006; Heywood *et al.*, 2007). این تیره تنوع وسیعی در ویژگی‌های ریختی به-ویژه در نوع میوه و سازمان‌یابی گل نشان می‌دهد و به همین دلیل طبقه‌بندی‌های متعددی براساس ویژگی‌های ریخت‌شناختی (Hutchinson, 1923; Janchen, 1949; Tamura, 1995)، ویژگی‌های ملکولی (Jensen *et al.*, 1995; Ro *et al.*, 1997) و ترکیبی از ویژگی‌های ریخت‌شناختی و ملکولی انجام شده است (Wang *et al.*, 2005). این تیره به کوشش Tamura (۱۹۹۵) به سه زیر تیره و یازده طایفه تقسیم شده است. این تقسیم‌بندی براساس عدد کروموزومی، برچه و نوع میوه انجام شده است اما در این مورد هنوز اتفاق نظر وجود ندارد.

گیاهان تیره آلاله‌ایان شامل ویژگی‌های متعدد ابتدایی و پیشرفته ریخت‌شناختی و رویان‌شناختی است: گل‌های منظم یا نامنظم دو یا تک‌جنسی، برچه‌های آزاد یا پیوسته، فولیکول‌های چندبرچه‌ای یا فندقه‌های تک‌برچه‌ای، تخمک‌های کم یا پرخورش تک یا دوپوسته‌ای، تکوین کیسه رویانی از نوع Polygonum یا Allium و آنتی‌پدهای پایدار یا ناپایدار از آن جمله است، اما از یک گونه به گونه دیگر تنوع قابل توجهی در ویژگی‌های فوق وجود دارد (Vijayaraghavan & Bhandari, 1970; Johri *et al.*, 1992). وجود پلی‌پلوئیدی مکرراً در انواع سلول‌های کیسه رویانی نظیر آنتی‌پودها، سینرژیدها، آندوسپرم و سوسپانسور گزارش شده است (Kozieradzka-Kiszkurno & Bohdanwicz, 2003; Greilhuber *et al.*, 2005; Ghahremaninejad *et al.*, 2013).

وجود پلی‌پلوئیدی مکرراً در انواع سلول‌های کیسه رویانی نظیر آنتی‌پودها، سینرژیدها، آندوسپرم و سوسپانسور گزارش شده است (Kozieradzka-Kiszkurno & Bohdanwicz, 2003; Greilhuber *et al.*, 2005; Ghahremaninejad *et al.*, 2013) و ارتباط آشکاری بین درجه پلی‌پلوئیدی این سلول‌ها و طول مدت زمان زندگی آنها وجود دارد که نقش

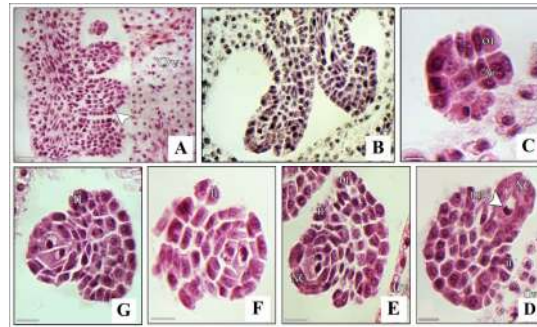
دو هستهٔ هاپلوئید (شکل ۱E) و پس از سیتوکینز دو سلول دیاد هاپلوئید می‌شود (شکل ۱F). در نمونه لام‌های تهیه‌شده از مراحل تکوین تخمک در این گیاه هم دیاد طولی (شکل ۱F) و هم دیاد عرضی مشاهده شد (شکل ۱G). دومین تقسیم میوزی موجب تشکیل چهار سلول تتراد می‌شود. انواع تترادها را در این نمونه می‌توان مشاهده کرد. از جمله نوع خطی طولی، خطی عرضی (۴ سلول کنار هم)، T شکل و چهار وجهی (شکل‌های ۲D-۲A). از چهار سلول حاصل از میوز، سه سلول تحلیل می‌روند و فقط یک سلول (مگاسپور عملکردی) باقی می‌ماند. در این نمونه، موقعیت سلول باقی‌مانده یا مگاسپور عملکردی سفتی (میکروپیلی) است.

در *C. orientalis* وقتی میوز با تشکیل تتراد به پایان می‌رسد، پوستهٔ تخمک حدوداً ۳/۴ جسم تخمک را می‌پوشاند (شکل ۳A). مگاسپور عملکردی سه تقسیم میتوزی متوالی انجام می‌دهد و در نهایت کیسهٔ رویانی هشت هسته‌ای و هفت سلولی را به وجود می‌آورد. طی تشکیل کیسهٔ رویانی ساختارهای هیپوستاز و پوستامنت شکل می‌گیرند (شکل ۴A). سه سلول در قطب مجاور سفت استقرار می‌یابند و دستگاه تخم‌زا را به وجود می‌آورند. دستگاه تخم‌زا شامل یک سلول تخم‌زای بزرگ و گلایی شکل است و به واسطهٔ داشتن یک هستهٔ درشت و یک واکوئل بزرگ قابل تشخیص است، و دو سلول کناری آن "سینرژیدها" است. در قطب بنی، سلول‌های آنتی‌پود به وجود می‌آید که آنها نیز آرایشی مثلثی شکل دارند. در نمونهٔ مورد- بررسی این سلول‌ها غول‌پیکر بوده، از قدرت رنگ‌پذیری بالایی برخوردارند و به سمت مرکز کیسهٔ رویانی مهاجرت می‌کنند. سلول‌های آنتی‌پودی روی پوستامنت واقع شده‌اند. پوستامنت برجسته می‌شود و آنتی‌پودها را به طرف مرکز کیسهٔ رویانی می‌راند.

ستون قرار دارند. جایگزینی تخمک‌ها در تخمدان از نوع جداری است. پریموردیوم تخمک دارای ۷-۴ ردیف سلولی است (شکل ۱A). در *C. orientalis* چندین سلول آرکتوسپوری وجود دارد (شکل ۱C) و تنها یکی از این سلول‌ها به طور مستقیم به مگاسپوروسیت تمایز می‌یابد. سلول مادر مگاسپور در نمونهٔ تحت مطالعه، در لایهٔ چهارم است (شکل ۱D). پریموردیوم تخمک خمیدگی را از همان مراحل اولیه آغاز می‌کند. هنگامی که پریموردیوم تخمکی کشیده می‌شود، در بخش میانی آن ابتدا پوسته خارجی بنیان‌گذاری می‌شود (شکل ۱F). بعد از مدتی، با توسعهٔ پوستهٔ خارجی، پوستهٔ درونی در بخش درونی پوستهٔ خارجی تشکیل می‌شود (شکل ۱E). در نمونهٔ مورد مطالعه، تخمک از نوع دوپوششی، پرخورش و واژگون است (شکل ۳B). میکروپیل بوسیلهٔ پوستهٔ داخلی که متشکل از ۲ لایه است شکل می‌گیرد و از نوع خطی صاف است (شکل‌های ۴B و ۴A). پوستهٔ خارجی ضخیم و متشکل از ۴ تا ۵ لایه سلولی است. از درونی‌ترین لایهٔ پوستهٔ درونی، لایهٔ اندوتلیوم تشکیل می‌شود. سلول‌های این لایه به صورت شعاعی امتداد یافته و دارای هستهٔ کاملاً واضح و سیتوپلاسمی متراکم هستند (شکل‌های ۴B و ۴A). در *C. orientalis* تشکیل مادگی پس از پرچم‌ها صورت می‌گیرد. مادگی تک‌برچه و دارای پایک و کرک است (شکل‌های ۴F و ۴G).

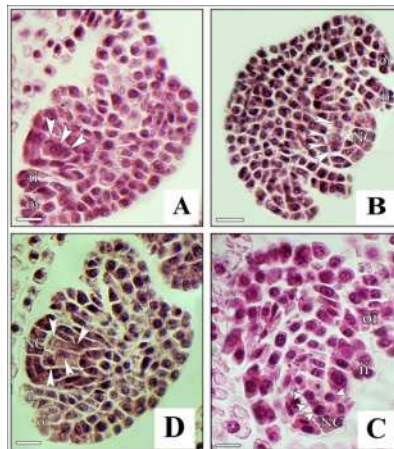
مگاسپورزایی و نمو گامتوفیت ماده

سلول مادر مگاسپور را چندین لایه از سلول‌های خورش احاطه می‌کنند، بنابراین تخمک از نوع پرخورش است. سلول مادر مگاسپور از نظر اندازه رشد می‌کند و با حجم زیاد، هستهٔ درشت، سیتوپلاسم متراکم و شکل چندوجهی خود از سایر سلول‌های خورش قابل تشخیص است (شکل ۱D). حضور کلاهک خورشی از این مرحله دیده می‌شود که بین دو تا چهار لایه است. مگاسپوروسیت با انجام میوز مگاسپورها را تشکیل می‌دهد که ضمن رشد گامتوفیت ماده یا کیسهٔ رویانی را تولید می‌کنند. اولین تقسیم میوزی مگاسپوروسیت، موجب تشکیل



شکل ۱- مراحل اولیه تکون تخمک و تشکیل مگاسپوروسیت در *C. orientalis*. A) پریموردیوم‌های تخمکی در سطح شکمی دیواره تخمدان (Ov) تشکیل می‌شوند و خمیدگی را از همان مراحل اولیه آغاز می‌کنند. بنیان‌گذاری پوسته (▲) نیز در همین زمان رخ می‌دهد؛ B) تخمک‌ها در دو ردیف در داخل برچه مستقر هستند؛ C) چندین سلول آرکتوسپوری در رأس خورش وجود دارد؛ D) یکی از سلول‌های آرکتوسپور به‌عنوان مگاسپوروسیت (mmc) عمل می‌کند، مگاسپوروسیت در لایه چهارم است. شکل‌گیری کلاهک خورش (NC) در این مرحله مشهود است. پوسته داخلی (ii) تخمک در این شکل و شکل‌های بعدی دیده می‌شود؛ E) با تقسیم سلول مگاسپوروسیت دو سلول هاپلوئید شکل می‌گیرد. در این شکل دیاد بدون سیتوکینز دیده می‌شود؛ F) دیاد خطی طولی؛ G) دیاد خطی عرضی. شاخص $20\mu\text{m}$ است.

Fig. 1. Early stages of ovule development and megasporocyte formation in *C. orientalis*. A) Ovular primordia are formed on abaxial side of ovary wall (Ov) and begin to curve at the early stages. Initiation of integuments (▲) starts simultaneously; B) Ovules are located in two rows; C) Several archeosporial cells are formed at the top of nucellus; D) One of the archeosporial cells acts as a megasporocyte (mmc) which is situated in the fourth layer. Formation of the nucellar cap (NC) is visible at this stage. Inner integument of ovule (ii) is visible in this figure and later ones; E) Division of megasporocyte results in the formation of two haploid cells. Dyad formation is not accompanied by cytokinesis; F) Linear dyad; G) Horizontal dyad. Scale bar equals $20\mu\text{m}$.



شکل ۲- تشکیل تتراد در طی مگاسپوروژنز در *C. orientalis*. لایه‌های کلاهک خورشی افزایش یافته و پوسته‌ها حدوداً به $3/4$ جسم تخمک می‌رسند. انواع تتراد به شرح زیر در نمونه تحت بررسی دیده شد: تتراد خطی طولی (A)، تتراد خطی عرضی (B)، تتراد T شکل (C)، و تترادها از نوع تتراهدرا (D) مشاهده شد. شاخص $20\mu\text{m}$ است.

Fig. 2. Tetrad formation during megasporogenesis in *C. orientalis*. The layers of nucellar cap increased and integuments approaches $3/4$ ovular body. Various tetrads are observed in this species including linear (A), horizontal (B), T-shaped (C) and tetrahedral tetrads (D). Scale bar equals $20\mu\text{m}$.

بحث

در تیره آلاله‌ایان توالی بنیان‌گذاری مارپیچی اندام‌های گل یک الگو است (Ren *et al.*, 2009) و یک سطح سیستماتیکی پایین را نشان می‌دهد (Endress *et al.*, 1995). در بازال آنژیوسپرم‌ها تخمک‌های پرخورش غالب هستند (Ren *et al.*, 2004) و تیره آلاله در بین تاکسون‌های ابتدایی دولپه‌ای، حجم‌ترین خورش را دارد. وضعیت دوپوسته‌ای و میکروویل آندوستومیک ویژگی‌های ابتدایی هستند و میکروویل bistomic و تخمک تک‌پوسته‌ای ویژگی‌های اشتقاق یافته هستند (Wang & Ren, 2007). در نمونه تحت مطالعه تخمک دوپوسته‌ای است و ابتدا پوسته درونی و سپس پوسته بیرونی بنیان‌گذاری می‌شود. به علاوه، پوسته بیرونی از رشد زیادی برخوردار است و تعداد لایه‌های آن بیش از دو عدد است، درحالی‌که پوسته درونی دولایه است. در پوسته‌های چند-لایه‌ای، اپیدرم و پارانشیم دیده می‌شود (رضانژاد و چهرگانی، ۱۳۸۷).

در تشکیل میکروویل فقط پوسته درونی دخالت دارد. به عبارتی؛ میکروویل آندوستومیک است که نوعی ویژگی ابتدایی محسوب می‌شود. در تیره آلاله تقسیمات مماسی سلول‌های اپیدرمی به تشکیل کلاهک خورشی منجر می‌شود. درجه نمو کلاهک، یک ویژگی مخصوص گونه است. کلاهک خورشی در *C. orientalis* دو تا چهار لایه است. در خانواده آلاله کلاهک خورشی می‌تواند موجب تشکیل اپستاز شود که بافتی با دیواره سلولی ضخیم است و در دانه‌های نیز بالغ پایدار می‌ماند (Ren *et al.*, 2009). ساختارهای هیپوستاز و پوستامنت در گونه *C. orientalis* مشاهده شد. در واقع در تخمک‌های پرخورش، سلول‌های بخش نزدیک (به سلول‌های آرکتوسپوری) به پوستامنت، سلول‌های ناحیه دور به دسته آوندی و سلول‌های ناحیه میانی (منطقه مرکزی) به پودیوم و هیپوستاز نمو می‌یابند. همه این ساختارها درحالی‌که عملکردهای مشابهی انجام می‌دهند از نظر الگوی تشکیل متفاوت هستند. پوستامنت بافتی با خاستگاه خورشی است که به صورت یک ستون از سلول‌های طولیل مستقر در بخش زیرین انتهای آنتی‌پودی کیسه‌رویی قرار گرفته است. سلول‌های پوستامنت از سلول‌های اطراف به-

سلول‌های آنتی‌پودی، بزرگ‌ترین سلول‌های کیسه‌رویی هستند. سیتوپلاسم آنها متراکم است و هسته کروی یا بیضی‌شکل دارند. شمار این سلول‌ها و تعداد هسته آنها طی تکوین افزایش نمی‌یابد اما به‌طور قابل ملاحظه‌ای بزرگ می‌شوند و دارای هسته حجیمی هستند که نمایانگر وجود پلی‌پلوئیدی در آنها است. یک یا دو عدد از سلول‌های آنتی‌پودی بعد از لقاح همچنان حضور دارند و در واقع پایا هستند. توسعه آنتی‌پودها همراه با واکوئل‌سازی در سیتوپلاسم و افزایش در ابعاد هسته و هستک است (شکل‌های ۳C-۴E).

هسته‌های قطبی در کیسه‌رویی در رأس سلول‌های آنتی‌پودی قرار گرفته (شکل ۳E) و به‌زودی به هم ملحق می‌شوند تا هسته ثانویه و سلول مرکزی (شکل ۴A) را تشکیل دهند. سلول مرکزی "هسته ثانویه" ارتباطات سیتوپلاسمی با آنتی‌پودها برقرار می‌کند، در واقع این ارتباطات سیتوپلاسمی بین کلیه سلول‌های کیسه‌رویی برقرار است. سپس سلول مرکزی مهاجرت می‌کند و در زیر دستگاه تخم‌زا قرار می‌گیرد. در *C. orientalis* هسته ثانویه قبل از لقاح تشکیل می‌شود. به دنبال ورود لوله‌گرده به تخمک (شکل ۴B) و انجام لقاح مضاعف، سلول تخم و سلول مادر آندوسپرم تشکیل می‌شود. زیگوت نسبت به سلول تخم‌زا متراکم‌تر است (شکل ۴C). یک یا دو عدد از آنتی‌پودهای پلی‌پلوئید بعد از لقاح تا مدتی پایا می‌مانند (شکل‌های ۴E و ۴C) و احتمالاً در مرحله آندوسپرم سلولی تحلیل می‌روند. با اولین تقسیم سلول تخم، سلول رأسی و قاعده-ای شکل می‌گیرد (شکل ۴E). ادامه تقسیمات، رویان را ایجاد می‌کند (شکل ۴D). با تشکیل کیسه‌رویی و سلول‌هایی که قابلیت لقاح را دارند، یعنی تخم‌زا (هاپلوئید) و هسته‌دوتایی (دیپلوئید)، تکوین تخمک به پایان می‌رسد. طی بلوغ کیسه-رویی کلاهک خورشی تحلیل می‌رود. در این گونه تکوین کیسه‌رویی از تیپ پلی‌گونوم پیروی می‌کند. کیسه‌رویی طی بلوغ گلابی‌شکل شده و بسیار عریض می‌گردد (شکل‌های ۳C-۴E). در *C. orientalis* دستجات آوندی در خورش و پوسته‌ها مشاهده شد (شکل ۳B).

سلول‌های آنتی‌پود را به مرکز کیسه‌رویی می‌راند و ورود لوله‌گرده درحالی صورت می‌گیرد که آنتی‌پودها کاملاً به وسط کیسه‌رویی پیش‌روی کرده‌اند. طول عمر آنتی‌پودها در گیاهان مختلف متفاوت است و با تکوین عملکرد ساختارهای خورشی دیگر در ارتباط است. در بین سلول‌های کیسه‌رویی میزان پایداری آنتی‌پودها بیشترین تنوع را نشان می‌دهد. به طور بسیار رایج آنها مدت کوتاهی پس از لقاح تحلیل می‌روند، اما می‌توانند تا مدت طولانی حتی بعد از لقاح نیز باقی بمانند (Hasitschka-Jenschke, 1962; Ünal et al., 1997). در این خانواده با توجه به اندازه‌گیری ابعاد هسته وجود سلول‌های آنتی‌پود و وجود تیپ‌های متنوعی از پلی‌پلوئیدی در سلول‌های آنتی‌پود گزارش شده است. پدیده پلی‌پلوئیدی ممکن است در- نتیجه اختلال در میتوز باشد؛ برای مثال در برخی از گونه‌های (Hasitscheka-Jenschke, 1959; Trela, *Anemon* 1978; Ünal, 1963) یا حاصل از اندومیتوز باشد، مثلاً در *Ranunculus peltatus* (Turala-Szybowska, 1980) و *Aconitum* (Tschermak-Woess, 1956).

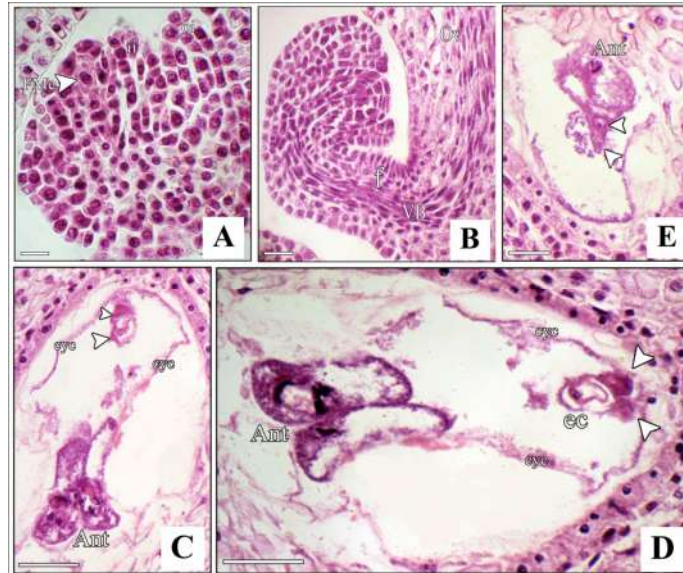
پدیده درون‌هماندسازی در ۴ گونه از گیاهان تیره آلاله مانند *Aconitum* (Tschermak-Woess, 1956)، در *Helleborus niger* (Hasitscheka-Jenschke, 1959) و *Ranunculus peltatus* (Turala-Szybowska, 1980) و *R. baudotii* (Wedzony, 1982) گزارش شده است. در گونه *C. orientalis* آنتی‌پودها از نظر اندازه مساوی هستند و سیتوپلاسم متراکم و هسته هم‌اندازه دارند و در واقع درجه پلی‌پلوئیدی یکسانی دارند. توسعه این سلول‌ها در نتیجه ایجاد واکوئل در سیتوپلاسم آنها و نیز افزایش ابعاد هسته‌ها و هستک‌های آنهاست. در *C. regalis* در نتیجه درون‌هماندسازی آنتی‌پودها رشد طولانی مدت را نشان می‌دهند (Unal & Vardar, 2006). در نمونه تحت مطالعه تعدادی از آنتی‌پودها تا مدتی پس از لقاح پایا می‌مانند. طبق گزارش‌ها در *C. regalis* آنتی‌پودهای پایا بیشترین تغییرات را به نمایش گذاشتند. حضور دستجات آوندی در پوسته‌ها یک ویژگی ابتدایی است (Öztürk & Ünal, 2003). این دستجات همان تراکندها هستند. در نمونه تحت مطالعه دستجات آوندی به‌خوبی در پوسته‌های تخمک قابل رؤیت است.

وسیله سیتوپلاسم متراکم‌تر و دیواره‌های رنگ پذیرتر قابل-تشخیص هستند. پوستامنت در تیره آلاله از لایه‌های محدودی تشکیل شده است و به سمت هیپوستاز توسعه یافته‌است و از نظر ساختاری با سلول‌های پروکامیومی قابل مقایسه است (Joshi & Venkateswarlu, 1935; Mück, 1980; Kamelina & Proskurina, 1987a,b; Alimova, 1990; Shamrov & Nikiticheva, 1992).

وجود چندین آرکئوسپو، از ویژگی‌های تیره آلاله و به طور کلی از خصوصیات تخمک‌های با خورش حجیم و چندلایه‌ای است. اما فقط یکی از آنها به سلول مادر مگاسپور (mmc) تمایز می‌یابد. مگاسپوروزن با الگوی رایج در نهان‌دانگان دولپه انجام می‌شود. مطالعه روند مگاسپورازن نشان می‌دهد که شکل تتراداها در این تیره تنوع بسیار زیادی دارد که با گزارش‌های پیشین همسو است (Kozieradzka-Kiszkurno & Bohdanwicz, 2003).

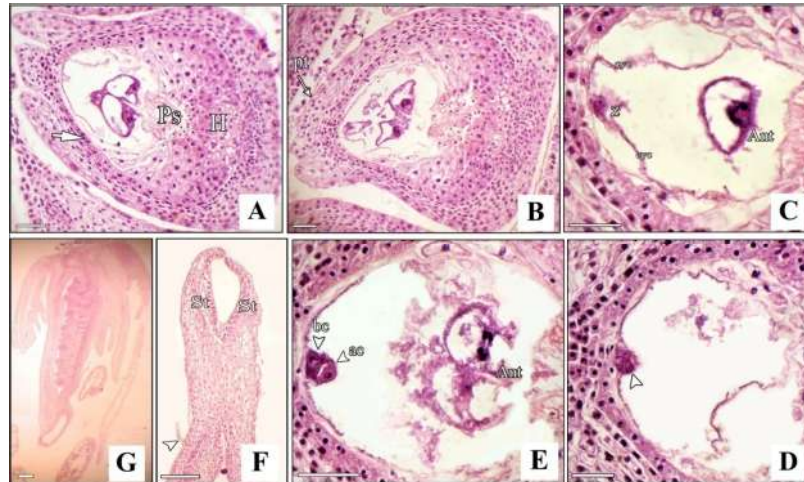
در *C. orientalis* مگاسپور پس از تشکیل به کیسه‌رویی نمو می‌کند و الگوی تکوین کیسه‌رویی از تیپ پلی‌گونوم پیروی می‌کند که تیپ رایج در اکثر نهان‌دانگان است (Kordyum, 1959). انواع دیگر تکوین کیسه‌رویی در این تیره گزارش شده است. Adonis تکوین از نوع Allium را نشان داده است (Uluce & Ünal, 1962; Bhandari, 1996). در *Trollius* *acaulis* Lindl. تیپ دو اسپوری و در *T. europeus* تیپ مونواسپوری گزارش شده است (Bhandari & Kaplin, 1964). درحالی‌که در *Thalictrum angustifolium* L. var. *flavum* کیسه‌رویی تتراسپوری ۱۶ هسته‌ای منطبق بر تیپ *ethrumPyr* گزارش شده است (Picci, 1964)، اما در *T. javanicum* Grun. تکوین گامتوفیت ماده از نوع مونواسپوری ۸ هسته‌ای و تیپ پلی‌گونوم است که با گزارش ما درباره *C. orientalis* همسویی دارد.

براساس نتایج، در *C. orientalis* سلول‌های آنتی‌پود در رأس پوستامنت قرار می‌گیرند که با گزارش‌های در *C. regalis* L. همسویی دارد (Unal & Vardar, 2006). در دو گونه اخیر همانند دیگر تخمک‌های پرخورش، سلول‌های ناحیه پروکسیمال به پوستامنت نمو می‌یابد که نشان ویژه ساختاری تیره آلاله است (Batygina & Shamrov, 1999). پوستامنت رشد می‌کند و



شکل ۳- تکوین تخمک و گامتوفیت ماده در *C. orientalis*. A) سلول مگاسپور عملکردی (FMe) در برش طولی تخمک؛ B) چرخش تخمک و معکوس شدن آن و ورود دستجات آوندی به تخمک نمایان است؛ C) یاخته تخم‌زای واکونله (▲ بزرگ‌تر) و یکی از یاخته‌های سینرژیید (▲ کوچک‌تر) در قطب سفی، یاخته‌های آنتی‌پود (Ant) غول‌پیکر در قطب شالازی و ارتباطات سیتوپلاسمی (cyc) بین یاخته‌ها دیده می‌شود؛ D) دستگاه تخم‌زا با آرایش مثلثی شامل سلول تخم‌زای (ec) واکونله و دو سلول سینرژیید (▲)؛ E) هسته‌های قطبی (▲) در مرکز کیسه‌رویانی در حال نزدیک شدن به یکدیگر هستند. شاخص ۲۰ μm است.

Fig. 3. Ovule and megagametophyte development in *C. orientalis*. A) Functional megaspore (FMe) in longitudinal section; B) Rotation and inversion of ovule and entrance of vascular bundle; C) Vacuolated oosphere cell (large ▲) and one of the synergid cells (small ▲) at the micropylar pole. Giant antipodal cells (Ant) at the chalazal pole (note the cytoplasmic connections (cyc) between the cells); D) Ovular apparatus with triangle arrangement of an egg cell (ec) and two synergids (▲); E) Polar nuclei (▲) are joining together at the center of embryo sac. Scale bar equals 20 μm.



شکل ۴- تکوین گامتوفیت ماده و لقاح در *C. orientalis* (A) برش طولی از کیسه‌روییانی بالغ گلابی‌شکل. شکل‌گیری میکروپیل توسط پوسته داخلی مشهود است. لایه اندوتلیال (↑) در سرتاسر کیسه‌روییانی امتداد یافته است؛ ساختارهای هیپوستاز (H) و پوستامنت (Ps) نیز دیده می‌شوند؛ B) کیسه‌روییانی گلابی‌شکل، به وضوح دیده می‌شود که تنها پوسته داخلی در شکل‌گیری میکروپیل دخالت دارد. در حالی که آنتی‌پودها در مرکز کیسه‌روییانی قرار گرفته‌اند، لوله‌گرده (pt) در حال ورود به کیسه‌روییانی است؛ C) تشکیل سلول تخم (Z) به همراه زوائد سیتوپلاسمی (cyc)، یکی از یاخته‌های آنتی‌پود (Ant) دیده می‌شود به عبارتی آنتی‌پودها پایا هستند و بعد از لقاح مضاعف همچنان پابرجا می‌مانند و سپس تحلیل می‌روند؛ D) پیش‌روی (▲)؛ E) سلول‌های راسی (ac) و قاعده‌ای (bc) پیش‌روی و حرکت آنتی‌پودها به وسط کیسه‌روییانی دیده می‌شود؛ F) نمای نزدیکی از کلالة (St)، حضور کرک تک‌سلولی بلندی (▲) بر دیواره خارجی تخمدان؛ G) تخمدان همراه با تخمک‌ها، کلالة و بساک‌ها. شاخص ۲۰ μm است.

Fig. 4. Female gametophyte development in *C. orientalis*. A) Longitudinal section of pear-shaped embryo sac. Note the formation of micropyle by inner integument. Endothelial layer (↑) is stretched along the whole embryo sac. Pay attention to hypostase (H) and posthament (Ps); B) Pear-shaped embryo sac. Inner integument is involved in the formation of micropyle. Pollen tube (pt) enters the embryo sac when antipodal cells are located at its center; C) Formation of zygote (Z) together with cytoplasmic inclusions (cyc). Antipodal cells are permanent and remain after double fertilization and then degenerate; E) Apical cell (ac) and basal cell (bc) of proembryo and movement of antipodal cells toward the center of embryo sac; F) Close view of stigma (st) with presence of one-celled trichomes (▲) on the outer surface of ovary; G) Ovary showing ovules and stigma. Anthers are also visible. Scale bar equals 20 μm.

References/منابع

رضانژاد، ف. و چهرگانی، ع. ۱۳۸۷. - رویان‌شناسی گیاهان گل‌دار (ترجمه. جلد ۱ و ۲). مؤلف: تی.بی.باتی‌گینا. انتشارات دانشگاه باهنر کرمان.

Alimova, G.K. 1990. - Family Alstroemeriaceae, In T.B. Batygina and M.S. Yakovlev. (eds). Comparative Embryology of Flowering Plants. Butomaceae-Lemnaceae. Nauka, Leningrad, Russia. 74-76.

Batygina, T.B. and Shamrov, I.I. 1999. New approach to interpreting the ovular basic structures. - Phytomorphology 49: 223-231.

Bhandari, N.N. 1962. Studies in the family Ranunculaceae III. Development of the female gametophyte in *Adonis annua* L. - Phytomorphology 12: 70-74.

Bhandari, N.N. 1963. Studies in the family Ranunculaceae V. The female gametophyte of *Adonis aestivalis* L. A reinvestigation. - Phytomorphology 13: 317-320.

Bhandari, N.N. and Kaplin, R.N. 1964. Studies in the family Ranunculaceae VII. Two types of embryo sacs in *Trollius*, Linn. - Beitrage Zur Biologie Pflanzen 40: 113-120.

Endress, P.K. 1995. Floral structure and evolution in *Ranunculanae*. - Plant Systematic and Evolution, Suppl. 9: 47-61.

Ghahremaninejad F., Nejad Falatoury, A., Mahmoodi, M., Fereidounfar, S. and Hoseini, E. 2013. - Plant chromosome book of Iran. Biology Home Press, Tehran, Iran.

Greilhuber, J., Dolezel, J., Lysak, M.A. and Bennett, M.D. 2005. The origin, evolution and proposed stabilization of the terms 'genome size' and 'C-value' to describe nuclear DNA contents. - Annals of Botany 95: 255-260.

Hasitschka-Janschke, G. 1959. Vergleichende karyologische Untersuchungen an Antipoden. - Chromosoma 15: 229-267.

Jensen, U., Hoot, S.B., Johansson, J.T. and Kosuge, K. 1995. Systematics and phylogeny of

the Ranunculaceae – a revised family concept on the basis of molecular data. - Plant Systematics and Evolution 9: 273-280.

Johri, B.M. Ambegaokar, K.B. and Srivastava, P.S. 1992. - Comparative embryology of angiosperms. Berlin: Springer-Verlag. Vols. 1 and 2.

Joshi, A.C. and Venkateswarlu, J. 1935. Embryological studies in the Lythraceae. I. - Lawsonia inermis. Proc. Indian Acad. Science. Section B, Biological Sciences (Bangalore, India) 2: 481-493.

Kamelina, O.P. and Proskurina, O.B. 1987. - Family Elaeagnaceae, In T.B. Batygina and M.S. Yakovlev (eds). Comparative of Flowering Plant Davidiaceae-Asteraceae. Nauka, Leningrad, Russia 105-110.

Kamelina, O.P. and Proskurina, O.B. 1987. Anther and pollen grain development in Elaeagnaceae family. - Bot. Zh. SSSR. 72: 909-917.

Kordyum, E.L. 1959. On the modes of reproduction of endosperm nuclei in *Nigella sativa*. - Ukrainskyi Botanichnyi Zhurnal 14: 40-46.

Kozieradzka-Kiszkurno, M. and Bohdanwicz, J. 2003. *Sedum acre* embryogenesis: Polyploidization in the suspensor. - Acta Biologica Cracoviensia Series Botanica 45: 153-157.

Mück, M. 1980. Über den Bau und die Entwicklung der Früchte und über die Herkunft von *Acorus calamus* L. Bot. Zeitung. 66: 1-23.

Öztürk, R. and Ünal, M. 2003. Cytoembryological studies on *Paeonia peregrina* L. - Journal of Cell and Molecular Biology 2: 85-89.

Picci, V. 1964. Ricerche embriologiche sul genere *Talictrum*. Embryologia di *Thalictrum angustifolium* L. v. *flavum* L. - Giardino Botanica Hal. 71: 258-267.

Raghavan, V. 1997. - Molecular embryology of flowering plants. Cambridge University Press, Cambridge.

- Ren, Y., Chang, H.L., Tian, X.H., Song, P. and Endress, P.K.** 2009. Floral development in *Adonideae* (*Ranunculaceae*). – *Flora* 204: 506-517.
- Ren, Y., Li, Z.J., Chang, H.L., Lei, Y.J. and Lu, A.M.** 2004. Floral development of *Kingdonia* (*Ranunculaceae*, *Ranunculales*). – *Plant Systematic and Evolution* 247: 145-153.
- Ro, K.E., Keener, C.S. and McPherson, B.A.** 1997. Molecular phylogenetic study of the *Ranunculaceae*: utility of the nuclear 26S Ribosomal DNA in inferring intrafamilial relationships. – *Molecular Phylogenetics and Evolution* 8: 117-127.
- Shamrov, I.I. and Nikiticheva, Z.I.** 1992. The ovule and seed morphogenesis in *Gymnadenia conopsea* (*Orchidaceae*): structural and histochemical investigation. – *Bot. Zhurnal.* 77: 45-60.
- Trela, Z.** 1963. Embryological studies in *Anemone nemorosa* L. – *Acta Biologica Cracoviensia Series Botanica* 6: 1-14.
- Tschermak-Woess, E.** 1956. Notizen über die Riesenkerne und "Riesenchromosomen" in den Antipoden von *Aconitum*. – *Chromosoma* 8: 114-134.
- Turala-Szybowski, A. and Wedzony, M.** 1981. Endopolyploidy in the antipodals of *Ranunculus* subgenus *Batrachium*. – *Acta Societatis Botanicorum Poloniae* 50: 161-164.
- Turala-Szybowski, A. and Wolanska, J.** 1989. Two mechanisms of polyploidization of the antipodals in *Aquilegia vulgaris* L. – *Acta Biologica Cracoviensia Series Botanica* 31: 63-74.
- Turala-Szybowski, A.** 1980. Endopolyploidy in the antipodals of *Ranunculus peltatus* Schrank. and *R. penicillatus* (Dumort.) Bab. – *Acta Biologica Cracoviensia* 22: 163-173.
- Uluce, N. and Ünal, M.** 1996. – Embryological studies in *Adonis microcarpa* DC. XIII National Biology Congress. Istanbul, Turkey.
- Unal, M.** 1978. Cytological and embryological studies on *Anemone pavonina* Lam. – *Istanbul Universitesi Fen Fakültesi Mecmuasi*. 43: 185-208.
- Unal, M.** 1984. Embryological studies on *Anemone coronaria*. – *Istanbul Universitesi Fen Fakültesi Mecmuasi*. 49: 89-97.
- Unal, M. and Vardar, F.** 2006. Embryological Analysis of *Consolida Regalis* L. (*Ranunculaceae*). – *Acta Biologica Cracoviensia Series Botanica* 48: 27-32.
- Vijayaraghavan, M.R. and Bhandari, N.N.** 1970. Studies in the family *Ranunculaceae*: embryology of *Thalictrum javanicum* Bl. – *Flora* 159: 450-458
- Wang, W., Li, R.Q. and Chen, Z.D.** 2005. Systematic position of *Asteropyrum* (*Ranunculaceae*) inferred from chloroplast and nuclear sequences. – *Plant Systematics and Evolution* 255: 41-54.
- Wang, Z. and Ren, Y.** 2007. Ovule morphogenesis in *Ranunculaceae* and its systematic significance. – *Oxford Journals* 101: 447-464.
- Wedzony, M.** 1982. Endopolyploidy and structure of nuclei in the antipodals and synergids of *Ranunculus baudotii* Godr. – *Acta Biologica Cracoviensia Series Botanica* 24: 43-62.
- Xue, C.Y. and Li, D.Z.** 2005. Embryology of *Megacodon stylophorus* and *Veratilla baillonii* (*Gentianaceae*): description and systematic implication. – *Bot. J. Linnean Society* 147: 317-331.
- Yeung, E.C.** 1984. – Histological and histochemical staining procedures. In: Vasil, I.K. (ed.) *Cell culture and somatic cell genetics of plants*. Orlando, Florida: Academic Press. 689-697.